

ОБ АЛГОРИТМЕ ЧИСЛЕННОГО РЕШЕНИЯ УРАВНЕНИЙ ОДНОЙ НЕЛИНЕЙНО-ДИСПЕРСИОННОЙ МОДЕЛИ МЕЛКОЙ ВОДЫ*†

В. Б. БАРАХНИН, Г. С. ХАКИМЗЯНОВ

Институт вычислительных технологий СО РАН

Новосибирск, Россия

Рассматривается конечно-разностный алгоритм для моделирования поверхностных волн в рамках одной нелинейно-дисперсионной модели. Отличительной чертой алгоритма является выделение в исходных уравнениях эллиптической и гиперболической частей. Для решения полученного эллиптического уравнения построена конечно-разностная схема с самосопряженным и положительно определенным оператором, оценены границы спектра этого оператора.

1. Введение

Двумерные (плановые) модели мелкой воды находят широкое применение при моделировании движений жидкости со свободной поверхностью. В последнее время неуклонно возрастает интерес к разработке алгоритмов расчета таких течений на криволинейных сетках, приспособляющихся к сложной форме берега и зависящих от решения. Эти сетки позволяют получать результаты достаточной точности даже при небольшом числе узлов с существенной экономией компьютерной памяти и времени счета. Высокая точность достигается благодаря увеличению концентрации узлов сетки в зонах расположения особенностей исследуемого явления. Кроме того, такие сетки имеют преимущества по сравнению с равномерными ввиду более простой реализации краевых условий на границах, имеющих сложную форму. Распространение поверхностных волн представляет собой существенно нестационарный процесс, поэтому адаптивные сетки, отслеживающие особенности решения, должны быть подвижными. К сожалению, в расчетах по моделям мелкой воды адаптивные сетки применяются до сих пор весьма редко.

В численных исследованиях наиболее часто используемой приближенной моделью является модель мелкой воды первого приближения. Недостатком модели является то, что она дает достоверные результаты лишь для волн малой амплитуды. Работы [9, 12, 14, 16, 17, 19, 21, 24] посвящены исследованию нелинейно-дисперсионных моделей и алгоритмов,

*© В. Б. Баракнин, Г. С. Хакимянов, 1996.

†Работа выполнена при финансовой поддержке Российского фонда фундаментальных исследований, грант №97-01-00819.

основанных на этих моделях. Из множества нелинейно-дисперсионных моделей (см., напр., [1, 2, 6, 18, 20, 22]) особый интерес вызывает модель Железняк — Пелиновского, так как при ее получении не используется предположение о малости амплитуды волн. Эта модель представляет собой систему нелинейных уравнений относительно возвышения свободной поверхности и скорости. Получается она путем разложения основных гидродинамических функций в ряд по параметру дисперсии $\beta = (h_0/L)^2$ и параметру нелинейности $\alpha = a_0/h_0$, подстановкой этого разложения в трехмерные уравнения, описывающие потенциальные течения жидкости со свободной границей, и последующим отбрасыванием членов порядка $O(\beta^2)$ с сохранением членов порядка $O(\alpha^m\beta)$ (см., напр., [10]). Здесь L — характерный размер по горизонтали, h_0 , a_0 — соответственно характерные глубина и амплитуда. Вывод, изучение и применение этой модели даны в [5, 7, 8]. Ее одномерный аналог получен также в работе [23].

Численная реализация многих нелинейно-дисперсионных моделей осложняется наличием в соответствующих уравнениях производных высокого порядка искомых функций, например смешанных производных по времени и пространственным переменным. Поэтому в настоящее время при построении разностных схем для нелинейно-дисперсионных уравнений предпочтение отдается алгоритмам, основанным на решении эллиптических и гиперболических уравнений, получаемых тем или иным способом из исходных дифференциальных уравнений. Эта идея применялась, например, в работах [9, 12, 16, 21]. Численная реализация таких алгоритмов сводится к тому, что на каждом временном шаге сначала решают эллиптические уравнения, а потом — неоднородную гиперболическую систему с правой частью, зависящей только от производных по пространственным переменным. Такой подход позволяет строить эффективные алгоритмы, так как для решения эллиптических и гиперболических уравнений имеются хорошо зарекомендовавшие себя численные методы.

В настоящей работе для модели Железняк — Пелиновского введена новая зависимая переменная — ускорение, так что возникает система уравнений относительно скорости и возвышения, причем правая часть этой системы не зависит от производных по времени и третьих производных от основных функций (в одномерном случае указанный подход описан нами в [16]). Для численного решения полученных уравнений на подвижных адаптивных сетках, подстраивающихся под сложную геометрию области и особенности решения, разработан конечно-разностный метод второго порядка точности с автоматически настраиваемой аппроксимационной вязкостью. Задача Неймана для эллиптического уравнения решается с помощью конечно-разностной схемы типа “косой крест” с самосопряженным и положительно определенным оператором.

2. Математическая постановка

Рассматривается течение идеальной несжимаемой жидкости в ограниченном бассейне конечной глубины. Декартова система координат Ox^1x^2z выбирается так, что уравнение свободной поверхности покоящейся жидкости имеет вид $z = 0$, при этом $z = -h(x^1, x^2)$ — функция, описывающая рельеф дна. Двумерные (плановые) течения жидкости со свободной поверхностью в рамках нелинейно-дисперсионной модели Железняк — Пелиновского описываются следующей системой уравнений для безразмерных переменных:

$$\begin{aligned} H_t + \operatorname{div}(H\mathbf{u}) &= 0, \\ \mathbf{u}_t + (\mathbf{u} \cdot \nabla)\mathbf{u} + \nabla\eta &= \mathbf{D}, \end{aligned} \quad (1.1)$$

где

$$\mathbf{D} = \frac{1}{H} \nabla \left(\frac{H^3}{3} R_1 + \frac{H^2}{2} R_2 \right) - \nabla h \left(\frac{H}{2} R_1 + R_2 \right),$$

$$R_1 = (\operatorname{div} \mathbf{u})_t + (\mathbf{u} \cdot \nabla) \operatorname{div} \mathbf{u} - (\operatorname{div} \mathbf{u})^2, \quad R_2 = \mathbf{u}_t \cdot \nabla h + (\mathbf{u} \cdot \nabla)(\mathbf{u} \cdot \nabla h),$$

$\Omega = \Omega(t)$ — меняющаяся, вообще говоря, со временем односвязная ограниченная область в плоскости декартовых координат x^1, x^2 , $u_\alpha(x^1, x^2, t)$ — декартовы компоненты вектора скорости \mathbf{u} ($\alpha = 1, 2$), $\eta(x^1, x^2, t)$ — возвышение поверхности над невозмущенным уровнем, $H = \eta + h$ — полная глубина. Обезразмеривание проводилось по формулам

$$\tilde{x}^\alpha = x^\alpha h_0, \quad \tilde{\eta} = \eta h_0, \quad \tilde{H} = H h_0, \quad \tilde{u}_\alpha = u_\alpha \sqrt{g h_0}, \quad \tilde{t} = t \sqrt{h_0/g},$$

где h_0 — характерная глубина, g — ускорение свободного падения, символом “ \sim ” обозначены размерные величины.

С целью выделения эллиптической части преобразуем уравнения движения, заметив, что

$$\operatorname{div}[(\mathbf{u} \cdot \nabla) \mathbf{u}] = (\mathbf{u} \cdot \nabla) \operatorname{div} \mathbf{u} + (\operatorname{div} \mathbf{u})^2 - 2 \det \left(\frac{\partial \mathbf{u}}{\partial x} \right),$$

где

$$\det \left(\frac{\partial \mathbf{u}}{\partial x} \right) = \frac{\partial u_1}{\partial x^1} \frac{\partial u_2}{\partial x^2} - \frac{\partial u_1}{\partial x^2} \frac{\partial u_2}{\partial x^1}.$$

С учетом этого

$$R_1 = \operatorname{div} \mathbf{d} - 2(\operatorname{div} \mathbf{u})^2 + 2 \det \left(\frac{\partial \mathbf{u}}{\partial x} \right), \quad R_2 = \mathbf{d} \cdot \nabla h + \mathbf{u} \cdot ((\mathbf{u} \cdot \nabla) \nabla h). \quad (1.2)$$

Здесь \mathbf{d} — ускорение частиц жидкости, $\mathbf{d} = \mathbf{u}_t + (\mathbf{u} \cdot \nabla) \mathbf{u}$.

Переписав уравнения движения системы (1.1) в виде $\mathbf{d} = \mathbf{D} - \nabla \eta$, получим

$$\mathbf{d} = \frac{1}{H} \nabla \left(\frac{H^3}{3} R_1 + \frac{H^2}{2} R_2 \right) - \nabla h \left(\frac{H}{2} R_1 + R_2 \right) - \nabla \eta.$$

С учетом равенства

$$-\nabla \eta = -\nabla H + \nabla h = -\frac{1}{H} \nabla \left(\frac{H^2}{2} \right) + \nabla h$$

имеем

$$H \mathbf{d} = \nabla \varphi - \nabla h \psi, \quad (1.3)$$

где

$$\varphi = \frac{H^3}{3} R_1 + \frac{H^2}{2} R_2 - \frac{H^2}{2}, \quad \psi = \frac{H^2}{2} R_1 + H R_2 - H.$$

Тем самым

$$R_1 = \frac{12\varphi - 6H\psi}{H^3}, \quad R_2 = \frac{-6\varphi + 4H\psi + H^2}{H^2}.$$

Используя равенства (1.2) и (1.3), мы получим систему уравнений для неизвестных φ и ψ :

$$\begin{aligned} \operatorname{div} \left(\frac{\nabla \varphi}{H} - \frac{\nabla h \psi}{H} \right) - 2(\operatorname{div} \mathbf{u})^2 + 2 \det \left(\frac{\partial \mathbf{u}}{\partial x} \right) &= \frac{12\varphi - 6H\psi}{H^3}, \\ \left(\frac{\nabla \varphi}{H} - \frac{\psi \nabla h}{H} \right) \cdot \nabla h + \mathbf{u} \cdot ((\mathbf{u} \cdot \nabla) \nabla h) &= \frac{-6\varphi + 4H\psi + H^2}{H^2}. \end{aligned} \quad (1.4)$$

Из второго уравнения системы (1.4) следует, что

$$\psi = \frac{H \nabla h \cdot \nabla \varphi + 6\varphi + H^2 \mathbf{u} \cdot ((\mathbf{u} \cdot \nabla) \nabla h) - H^2}{Hr},$$

где $r = (\nabla h)^2 + 4$. Подставляя выражение для ψ в первое уравнение системы (1.4), после очевидных преобразований получим уравнение для φ :

$$\operatorname{div} \left(\frac{\nabla \varphi}{H} - \frac{\nabla h}{H} \frac{\nabla h \cdot \nabla \varphi}{r} \right) - \left(6 \operatorname{div} \left(\frac{\nabla h}{H^2 r} \right) + \frac{12}{H^3} \frac{r-3}{r} \right) \varphi = F, \quad (1.5)$$

где

$$F = \operatorname{div} \left(\frac{(\mathbf{u} \cdot ((\mathbf{u} \cdot \nabla) \nabla h) - 1) \nabla h}{r} \right) - \frac{6}{H} \frac{\mathbf{u} \cdot ((\mathbf{u} \cdot \nabla) \nabla h) - 1}{r} + 2(\operatorname{div} \mathbf{u})^2 - 2 \operatorname{det} \left(\frac{\partial \mathbf{u}}{\partial x} \right).$$

Предполагая, что $H(x^1, x^2, t) \geq H_0 > 0$, нетрудно показать, что уравнение (1.5) является эллиптическим.

С учетом (1.3) уравнения системы (1.1) запишутся в виде

$$\begin{aligned} H_t + \operatorname{div}(H\mathbf{u}) &= 0, \\ \mathbf{u}_t + (\mathbf{u} \cdot \nabla)\mathbf{u} &= \frac{1}{H}(\nabla\varphi - \nabla h\psi). \end{aligned} \quad (1.6)$$

Итак, решение системы (1.1) свелось к решению эллиптического уравнения (1.5) и системы (1.6), правая часть которой не содержит производных по времени.

Уравнения (1.6) можно записать и в дивергентной форме:

$$\frac{\partial \mathbf{V}}{\partial t} + \frac{\partial \mathbf{F}^1}{\partial x^1} + \frac{\partial \mathbf{F}^2}{\partial x^2} = \mathbf{G}, \quad x = (x^1, x^2) \in \Omega. \quad (1.7)$$

Здесь

$$\mathbf{V} = \begin{pmatrix} H \\ Hu_1 \\ Hu_2 \end{pmatrix}, \quad \mathbf{F}^1 = \begin{pmatrix} Hu_1 \\ Hu_1^2 \\ Hu_1u_2 \end{pmatrix}, \quad \mathbf{F}^2 = \begin{pmatrix} Hu_2 \\ Hu_1u_2 \\ Hu_2^2 \end{pmatrix}, \quad \mathbf{G} = \begin{pmatrix} 0 \\ \varphi_{x^1} - \psi h_{x^1} \\ \varphi_{x^2} - \psi h_{x^2} \end{pmatrix}.$$

Рассматриваемые уравнения дополняются начальными и краевыми условиями. Например, на непроницаемых неподвижных участках Γ_0 имеем

$$\mathbf{u} \cdot \mathbf{n} \Big|_{\Gamma_0} = 0, \quad (1.8)$$

где \mathbf{n} — единичный вектор внешней нормали к границе.

Для уравнения (1.5) также необходимы краевые условия. Легко показать, что

$$\mathbf{d} \cdot \mathbf{n} \Big|_{\Gamma_0} = \varkappa(\mathbf{u} \cdot \mathbf{u}), \quad (1.9)$$

где \varkappa — знакоопределенная кривизна границы. Знак кривизны определяется следующим образом. Параметризуем границу области так, чтобы при движении в направлении возрастания параметра область оставалась слева. Будем считать кривизну положительной или

отрицательной в зависимости от того, вращается ли касательный вектор \mathbf{l} при указанном движении по часовой или против часовой стрелки соответственно.

Из формул (1.3) и (1.9) имеем следующее краевое условие на функцию φ :

$$\left(\frac{\partial \varphi}{\partial n} - \frac{\partial h}{\partial n} \frac{H \nabla h \cdot \nabla \varphi + 6\varphi}{Hr} \right) \Big|_{\Gamma_0} = \frac{\partial h}{\partial n} \frac{H \mathbf{u} \cdot ((\mathbf{u} \cdot \nabla) \nabla h) - H}{r} + \varkappa H (\mathbf{u} \cdot \mathbf{u}). \quad (1.10)$$

В частном случае, когда функция h , описывающая рельеф дна, удовлетворяет на Γ_0 равенству $\nabla h = -|\nabla h| \mathbf{n}$, для уравнения (1.5) возникает третья краевая задача с граничным условием

$$\left(\frac{\partial \varphi}{\partial n} + \frac{3|\nabla h|}{2H} \varphi \right) \Big|_{\Gamma_0} = \frac{H}{4} \left(|\nabla h| (-(\mathbf{u} \cdot \nabla)(\mathbf{u} \cdot \nabla h) + 1) + 4\varkappa (\mathbf{u} \cdot \mathbf{u}) \right).$$

Если же дно плоское и горизонтальное, $h \equiv 1$, то краевое условие (1.10) запишется в виде условия Неймана

$$\frac{\partial \varphi}{\partial n} \Big|_{\Gamma_0} = \varkappa H (\mathbf{u} \cdot \mathbf{u}). \quad (1.11)$$

Уравнение (1.5) примет в этом случае более простой вид:

$$\frac{\partial}{\partial x^1} \left(\frac{1}{H} \frac{\partial \varphi}{\partial x^1} \right) + \frac{\partial}{\partial x^2} \left(\frac{1}{H} \frac{\partial \varphi}{\partial x^2} \right) - \frac{3}{H^3} \varphi = F, \quad (1.12)$$

где

$$F = 2(\operatorname{div} \mathbf{u})^2 - 2 \det \left(\frac{\partial \mathbf{u}}{\partial x} \right) + \frac{3}{2H}.$$

3. Постановка задачи в криволинейных координатах

Пусть преобразование координат

$$t = \tau, \quad x^\alpha = x^\alpha(q^1, q^2, \tau), \quad \alpha = 1, 2 \quad (2.1)$$

является достаточно гладким, взаимно-однозначным и невырожденным (для определенности, с положительным якобианом), причем область $\Omega(t)$ при этом преобразовании является образом единичного квадрата $Q = (0; 1) \times (0; 1)$. В новых координатах система (1.7) имеет вид

$$\frac{\partial \mathbf{V}}{\partial t} + \frac{\partial \mathbf{F}^1}{\partial q^1} + \frac{\partial \mathbf{F}^2}{\partial q^2} = \mathbf{G}, \quad q = (q^1, q^2) \in Q, \quad (2.2)$$

где

$$\mathbf{V} = \begin{pmatrix} HJ \\ Hu_1 J \\ Hu_2 J \end{pmatrix}, \quad \mathbf{F}^\alpha = \begin{pmatrix} H v^\alpha J \\ Hu_1 v^\alpha J \\ Hu_2 v^\alpha J \end{pmatrix}, \quad \mathbf{G} = \begin{pmatrix} 0 \\ \left(\frac{\partial \varphi}{\partial q^1} - \psi \frac{\partial h}{\partial q^1} \right) \frac{\partial x^2}{\partial q^2} - \left(\frac{\partial \varphi}{\partial q^2} - \psi \frac{\partial h}{\partial q^2} \right) \frac{\partial x^2}{\partial q^1} \\ - \left(\frac{\partial \varphi}{\partial q^1} - \psi \frac{\partial h}{\partial q^1} \right) \frac{\partial x^1}{\partial q^2} + \left(\frac{\partial \varphi}{\partial q^2} - \psi \frac{\partial h}{\partial q^2} \right) \frac{\partial x^1}{\partial q^1} \end{pmatrix},$$

J — якобиан преобразования (2.1), $v^\alpha = \frac{dq^\alpha}{dt}$ — контравариантные компоненты вектора скорости:

$$v^\alpha = \left(u_1 - \frac{\partial x^1}{\partial t} \right) \frac{\partial q^\alpha}{\partial x^1} + \left(u_2 - \frac{\partial x^2}{\partial t} \right) \frac{\partial q^\alpha}{\partial x^2}, \quad \frac{\partial q^\alpha}{\partial x^\beta} = \frac{(-1)^{\alpha+\beta}}{J} \frac{\partial x^{3-\beta}}{\partial q^{3-\alpha}}.$$

Нам потребуется также недивергентная форма записи уравнений (2.2):

$$\frac{\partial \mathbf{v}}{\partial t} + \mathcal{A}^1 \frac{\partial \mathbf{v}}{\partial q^1} + \mathcal{A}^2 \frac{\partial \mathbf{v}}{\partial q^2} = \mathbf{f}, \quad (2.3)$$

где

$$\mathbf{v} = \begin{pmatrix} H \\ u_1 \\ u_2 \end{pmatrix}, \quad \mathcal{A}^\alpha = \begin{pmatrix} v^\alpha & H \frac{\partial q^\alpha}{\partial x^1} & H \frac{\partial q^\alpha}{\partial x^2} \\ 0 & v^\alpha & 0 \\ 0 & 0 & v^\alpha \end{pmatrix}, \quad \mathbf{f} = \frac{1}{HJ} \mathbf{G}.$$

Наконец, уравнение (1.5) для расчета φ записывается в криволинейных координатах следующим образом:

$$\frac{\partial}{\partial q^1} \left(k_{11} \frac{\partial \varphi}{\partial q^1} + k_{12} \frac{\partial \varphi}{\partial q^2} \right) + \frac{\partial}{\partial q^2} \left(k_{12} \frac{\partial \varphi}{\partial q^1} + k_{22} \frac{\partial \varphi}{\partial q^2} \right) - k_0 \varphi = FJ, \quad (2.4)$$

здесь

$$k_{\alpha\beta} = \frac{J}{H} \left(\bar{g}^{\alpha\beta} - \frac{\bar{g}^{\alpha\gamma} \bar{g}^{\beta\delta}}{r} \frac{\partial h}{\partial q^\gamma} \frac{\partial h}{\partial q^\delta} \right), \quad k_0 = 6 \frac{\partial}{\partial q^\alpha} \left(\frac{J \bar{g}^{\alpha\beta}}{H^2 r} \frac{\partial h}{\partial q^\beta} \right) + \frac{12J}{H^3} \frac{r-3}{r},$$

$$F = \frac{1}{J} \frac{\partial}{\partial q^\alpha} \left(\frac{s}{r} J \bar{g}^{\alpha\beta} \frac{\partial h}{\partial q^\beta} \right) - \frac{6s}{Hr} + \frac{2}{J^2} \frac{\partial}{\partial q^\alpha} J \left(v^\alpha - \frac{\partial q^\alpha}{\partial t} \right) - \frac{2}{J} \det \left(\frac{\partial \mathbf{u}}{\partial q} \right),$$

$$r = \bar{g}^{\alpha\beta} \frac{\partial h}{\partial q^\alpha} \frac{\partial h}{\partial q^\beta} + 4, \quad s = u_\beta \left(v^\alpha - \frac{\partial q^\alpha}{\partial t} \right) \frac{\partial}{\partial q^\alpha} \left(\frac{\partial h}{\partial q^\gamma} \frac{\partial q^\gamma}{\partial x^\beta} \right) - 1, \quad \bar{g}^{\alpha\beta} = \frac{(-1)^{\alpha+\beta}}{J^2} g_{3-\alpha, 3-\beta},$$

$g_{\alpha\beta}$ — ковариантные компоненты метрического тензора; во всех формулах по повторяющимся индексам ведется суммирование.

В криволинейных координатах условие непротекания (1.8) примет вид

$$v^\alpha \Big|_{q^\alpha=0} = v^\alpha \Big|_{q^\alpha=1} = 0.$$

Отсюда сразу следует, что

$$\mathbf{F}^\alpha \Big|_{q^\alpha=0} = \mathbf{F}^\alpha \Big|_{q^\alpha=1} = 0.$$

4. Конечно-разностный алгоритм

Для численного решения уравнений (2.2), (2.4) замыкание области Q (квадрат \bar{Q}) покрывается прямоугольной сеткой \bar{Q}_h с количеством узлов N_α по направлению оси Oq^α и шагами $h_\alpha = 1/(N_\alpha - 1)$.

Алгоритм расчета на произвольном шаге по времени с номером n состоит в следующем. Сначала решается конечно-разностное уравнение для нахождения функции φ , аппроксимирующее уравнение эллиптического типа (2.4), причем φ вычисляется в целочисленных узлах сетки. Для решения системы (2.2) нами использовалась явная конечно-разностная схема предиктор—корректор с автоматически настраиваемой аппроксимационной вязкостью. На шаге предиктор этой схемы аппроксимируется недивергентная форма системы (2.2), то есть система (2.3), правая часть которой содержит уже найденные значения φ и ψ . После этого вновь численно решается уравнение (2.4) с использованием величин H , u_1 , u_2 ,

вычисленных на предикторе. Значения φ ищутся в узлах сетки и используются в правой части уравнений шага корректор, аппроксимирующих дивергентную систему (2.2).

Схема предиктор—корректор описана в нашей работе [15], поэтому здесь мы опишем лишь схему, использованную для численного решения эллиптического уравнения (2.4). Конечно-разностное уравнение получено на основе интегроинтерполяционного метода.

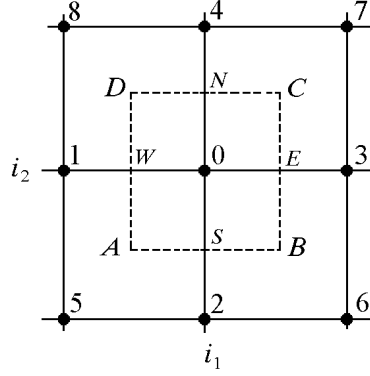


Рис. 1. Контур интегрирования и шаблон разностной схемы.

Проинтегрируем уравнение (2.4) по прямоугольнику $ABCD$ (рис. 1), стороны которого параллельны координатным осям вычислительной области Q и делят расстояния между соседними узлами пополам. Имеем

$$\begin{aligned} & \int_{(BC)} \left(k_{11} \frac{\partial \varphi}{\partial q^1} + k_{12} \frac{\partial \varphi}{\partial q^2} \right) dq^2 - \int_{(AD)} \left(k_{11} \frac{\partial \varphi}{\partial q^1} + k_{12} \frac{\partial \varphi}{\partial q^2} \right) dq^2 + \int_{(DC)} \left(k_{21} \frac{\partial \varphi}{\partial q^1} + k_{22} \frac{\partial \varphi}{\partial q^2} \right) dq^1 - \\ & - \int_{(AB)} \left(k_{21} \frac{\partial \varphi}{\partial q^1} + k_{22} \frac{\partial \varphi}{\partial q^2} \right) dq^1 - \iint_{ABCD} k_0 \varphi dq^1 dq^2 = \iint_{ABCD} FJ dq^1 dq^2. \end{aligned} \quad (3.1)$$

Коэффициенты $k_{\alpha\beta}$ вычисляются в центрах ячеек сетки — в точках $q_{i_1+1/2, i_2+1/2}$. Для подсчета интегралов в (3.1) по сторонам прямоугольника $ABCD$ применяется формула трапеций. Тогда из (3.1) получим следующее разностное уравнение во внутреннем узле q_{i_1, i_2} :

$$\Lambda \varphi_{i_1, i_2} \equiv (\bar{D}_{q^1} F_1 + \bar{D}_{q^2} F_2 - k_0) \varphi_{i_1, i_2} = (FJ)_{i_1, i_2}, \quad (3.2)$$

где правая часть аппроксимируется с помощью центральных разностей. Здесь

$$D_{q^1} f(q_{i_1+1/2, i_2+1/2}) = \frac{f_{i_1+1, i_2+1} + f_{i_1+1, i_2} - f_{i_1, i_2+1} - f_{i_1, i_2}}{2h_1},$$

$$D_{q^2} f(q_{i_1+1/2, i_2+1/2}) = \frac{f_{i_1+1, i_2+1} + f_{i_1, i_2+1} - f_{i_1+1, i_2} - f_{i_1, i_2}}{2h_2},$$

$$F_1 f(q_{i_1+1/2, i_2+1/2}) = (k_{11} D_{q^1} f + k_{12} D_{q^2} f)(q_{i_1+1/2, i_2+1/2}),$$

$$F_2 f(q_{i_1+1/2, i_2+1/2}) = (k_{12} D_{q^1} f + k_{22} D_{q^2} f)(q_{i_1+1/2, i_2+1/2}),$$

$$\bar{D}_{q^1} F_1(q_{i_1, i_2}) = \frac{D_{q^1} F_1(N) + D_{q^1} F_1(S)}{2}, \quad \bar{D}_{q^2} F_2(q_{i_1, i_2}) = \frac{D_{q^2} F_2(E) + D_{q^2} F_2(W)}{2}.$$

Далее будем рассматривать случай плоского горизонтального дна, $h \equiv 1$.

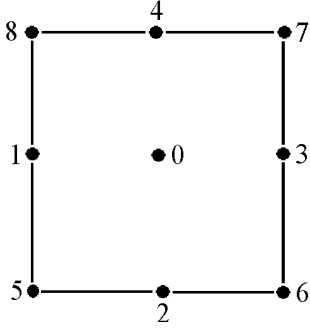


Рис. 2. Нумерация типов узлов.

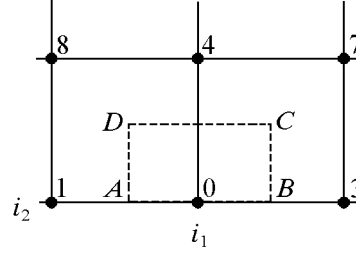


Рис. 3. Контур интегрирования и шаблон на нижней границе.

Опишем аппроксимацию граничного условия Неймана (1.11). Заметим, что на нижней границе вычислительной области $\mathbf{n} = \frac{1}{\sqrt{g_{11}}}(x_{q^1}^2, -x_{q^1}^1)$. На этой границе выполняется равенство

$$\begin{aligned} k_{12} \frac{\partial \varphi}{\partial q^1} + k_{22} \frac{\partial \varphi}{\partial q^2} &= \frac{1}{H} \left(-x_{q^1}^2 \left(\frac{\partial \varphi}{\partial q^1} \frac{x_{q^2}^2}{J} - \frac{\partial \varphi}{\partial q^2} \frac{x_{q^1}^2}{J} \right) + x_{q^1}^1 \left(-\frac{\partial \varphi}{\partial q^1} \frac{x_{q^2}^1}{J} + \frac{\partial \varphi}{\partial q^2} \frac{x_{q^1}^1}{J} \right) \right) = \\ &= \frac{1}{H} \left(-x_{q^1}^2 \frac{\partial \varphi}{\partial x^1} + x_{q^1}^1 \frac{\partial \varphi}{\partial x^2} \right) = -\frac{\sqrt{g_{11}}}{H} \frac{\partial \varphi}{\partial n} = \sqrt{g_{11}} \varkappa_1 (\mathbf{u} \cdot \mathbf{u}), \end{aligned} \quad (3.3)$$

где, согласно формуле подсчета кривизны [11],

$$\varkappa_1 = \frac{x_{q^1 q^1}^2 x_{q^1}^1 - x_{q^1 q^1}^1 x_{q^1}^2}{g_{11}^{3/2}}.$$

На верхней границе области Q также имеет место равенство вида (3.3). Наконец, для левой и правой границы области Q получим следующую формулу:

$$k_{11} \frac{\partial \varphi}{\partial q^1} + k_{12} \frac{\partial \varphi}{\partial q^2} = \sqrt{g_{22}} \varkappa_2 (\mathbf{u} \cdot \mathbf{u}), \quad (3.4)$$

где

$$\varkappa_2 = \frac{x_{q^2 q^2}^1 x_{q^2}^2 - x_{q^2 q^2}^2 x_{q^2}^1}{g_{22}^{3/2}}.$$

Приведем конечно-разностные уравнения в граничных узлах, разбив множество узлов на типы в зависимости от положения узла на сетке (рис. 2). Шаблон и контур интегрирования для узлов, принадлежащих нижней границе (тип 2), изображены на рис. 3. Рассматривая интегралы вида (3.1) и используя равенства (3.3) и (3.4), получим следующие разностные уравнения (черта над оператором F_α означает, что берется среднее арифметическое значений оператора в двух соседних ячейках; k_0 берется из центров ближайших ячеек).

Тип 1:

$$\Lambda \varphi_{1,i_2} \equiv \frac{2}{h_1} \overline{F_1} \varphi(E) + D_{q^2} F_2 \varphi(E) - k_0 \varphi_{1,i_2} = (FJ)_{1,i_2} + \left(\frac{2}{h_1} \sqrt{g_{22}} \varkappa_2 (\mathbf{u} \cdot \mathbf{u}) \right)_{1,i_2}. \quad (3.5)$$

Тип 2:

$$\Lambda\varphi_{i_1,1} \equiv D_{q^1}F_1\varphi(N) + \frac{2}{h_2}\overline{F_2}\varphi(N) - k_0\varphi_{i_1,1} = (FJ)_{i_1,1} + \left(\frac{2}{h_2}\sqrt{g_{11}}\varkappa_1(\mathbf{u} \cdot \mathbf{u})\right)_{i_1,1}. \quad (3.6)$$

Тип 3:

$$\Lambda\varphi_{N_1,i_2} \equiv -\frac{2}{h_1}\overline{F_1}\varphi(W) + D_{q^2}F_2\varphi(W) - k_0\varphi_{N_1,i_2} = (FJ)_{N_1,i_2} - \left(\frac{2}{h_1}\sqrt{g_{22}}\varkappa_2(\mathbf{u} \cdot \mathbf{u})\right)_{N_1,i_2}. \quad (3.7)$$

Тип 4:

$$\Lambda\varphi_{i_1,N_2} \equiv D_{q^1}F_1\varphi(S) - \frac{2}{h_2}\overline{F_2}\varphi(S) - k_0\varphi_{i_1,N_2} = (FJ)_{i_1,N_2} - \left(\frac{2}{h_2}\sqrt{g_{11}}\varkappa_1(\mathbf{u} \cdot \mathbf{u})\right)_{i_1,N_2}. \quad (3.8)$$

Тип 5:

$$\begin{aligned} \Lambda\varphi_{1,1} &\equiv \frac{2}{h_1}F_1\varphi(C) + \frac{2}{h_2}F_2\varphi(C) - k_0\varphi_{1,1} = \\ &= (FJ)_{1,1} + \left(\frac{2}{h_1}\sqrt{g_{22}}\varkappa_2(\mathbf{u} \cdot \mathbf{u})\right)_{1,1} + \left(\frac{2}{h_2}\sqrt{g_{11}}\varkappa_1(\mathbf{u} \cdot \mathbf{u})\right)_{1,1}. \end{aligned} \quad (3.9)$$

Тип 6:

$$\begin{aligned} \Lambda\varphi_{N_1,1} &\equiv -\frac{2}{h_1}F_1\varphi(D) + \frac{2}{h_2}F_2\varphi(D) - k_0\varphi_{N_1,1} = \\ &= (FJ)_{N_1,1} - \left(\frac{2}{h_1}\sqrt{g_{22}}\varkappa_2(\mathbf{u} \cdot \mathbf{u})\right)_{N_1,1} + \left(\frac{2}{h_2}\sqrt{g_{11}}\varkappa_1(\mathbf{u} \cdot \mathbf{u})\right)_{N_1,1}. \end{aligned} \quad (3.10)$$

Тип 7:

$$\begin{aligned} \Lambda\varphi_{N_1,N_2} &\equiv -\frac{2}{h_1}F_1\varphi(A) - \frac{2}{h_2}F_2\varphi(A) - k_0\varphi_{N_1,N_2} = \\ &= (FJ)_{N_1,N_2} - \left(\frac{2}{h_1}\sqrt{g_{22}}\varkappa_2(\mathbf{u} \cdot \mathbf{u})\right)_{N_1,N_2} - \left(\frac{2}{h_2}\sqrt{g_{11}}\varkappa_1(\mathbf{u} \cdot \mathbf{u})\right)_{N_1,N_2}. \end{aligned} \quad (3.11)$$

Тип 8:

$$\begin{aligned} \Lambda\varphi_{1,N_2} &\equiv \frac{2}{h_1}F_1\varphi(B) - \frac{2}{h_2}F_2\varphi(B) - k_0\varphi_{1,N_2} = \\ &= (FJ)_{1,N_2} + \left(\frac{2}{h_1}\sqrt{g_{22}}\varkappa_2(\mathbf{u} \cdot \mathbf{u})\right)_{1,N_2} - \left(\frac{2}{h_2}\sqrt{g_{11}}\varkappa_1(\mathbf{u} \cdot \mathbf{u})\right)_{1,N_2}. \end{aligned} \quad (3.12)$$

Таким образом, формулы (3.2), (3.5)–(3.12) полностью определяют оператор Λ и систему конечно-разностных уравнений

$$\Lambda\varphi_{i_1,i_2} = P_{i_1,i_2}, \quad i_\alpha = 1, \dots, N_\alpha. \quad (3.13)$$

Коэффициенты этих уравнений приведены в [3]. Нетрудно убедиться, что для оператора Лапласа, аппроксимируемого на квадратной сетке, описанная схема переходит в схему "косой крест".

Докажем самосопряженность и положительную определенность оператора $A = -\Lambda$. Оператор A действует из M -пространства сеточных функций, заданных на сетке \overline{Q}_h , в M . Введем в M скалярное произведение:

$$(\varphi, \psi) = h_1 h_2 \sum_{i_1=2}^{N_1-1} \sum_{i_2=2}^{N_2-1} (\varphi\psi)_{i_1,i_2} + \frac{1}{2} h_1 h_2 \sum_{i_2=2}^{N_2-1} (\varphi\psi)_{1,i_2} +$$

$$\begin{aligned}
& + \frac{1}{2} h_1 h_2 \sum_{i_1=2}^{N_1-1} (\varphi\psi)_{i_1,1} + \frac{1}{2} h_1 h_2 \sum_{i_2=2}^{N_2-1} (\varphi\psi)_{N_1,i_2} + \frac{1}{2} h_1 h_2 \sum_{i_1=2}^{N_1-1} (\varphi\psi)_{i_1,N_2} + \\
& + \frac{1}{4} h_1 h_2 (\varphi\psi)_{1,1} + \frac{1}{4} h_1 h_2 (\varphi\psi)_{N_1,1} + \frac{1}{4} h_1 h_2 (\varphi\psi)_{N_1,N_2} + \frac{1}{4} h_1 h_2 (\varphi\psi)_{1,N_2}.
\end{aligned}$$

Пусть $f \in M$. Определим $\tilde{f} \in M$ так: $\tilde{f}_{i_1,i_2} = f_{i_1,i_2}(k_0)_{i_1,i_2}$. Имеет место следующее утверждение.

Лемма 3.1. *Для любых функций φ, ψ из пространства M имеет место равенство*

$$(A\varphi, \psi) = h_1 h_2 \sum_{i_1=1}^{N_1-1} \sum_{i_2=1}^{N_2-1} (F_1 \varphi D_{q^1} \psi + F_2 \varphi D_{q^2} \psi)(q_{i_1+1/2, i_2+1/2}) + (\tilde{\varphi}, \psi). \quad (3.14)$$

Доказательство. Преобразуем слагаемые, входящие в выражение $(A\varphi, \psi)$. Преобразование зависит от типа узла, к которому относится соответствующее слагаемое.

Рассматривая выражение (3.2), используемое в узлах типа 0 и взятое со знаком “−”, подробно запишем преобразование тех слагаемых скалярного произведения, в которые входит сомножитель $\overline{D}_{q^1} F_1 \varphi$:

$$\begin{aligned}
& -h_1 h_2 \sum_{i_1=2}^{N_1-1} \sum_{i_2=2}^{N_2-1} (\overline{D}_{q^1} F_1 \varphi \psi)_{i_1, i_2} = \frac{h_1 h_2}{2h_1} \sum_{i_1=2}^{N_1-1} \sum_{i_2=2}^{N_2-1} (-F_1 \varphi(q_{i_1+1/2, i_2+1/2}) \psi_{i_1, i_2} + \\
& + F_1 \varphi(q_{i_1-1/2, i_2+1/2}) \psi_{i_1, i_2} - F_1 \varphi(q_{i_1+1/2, i_2-1/2}) \psi_{i_1, i_2} + F_1 \varphi(q_{i_1-1/2, i_2-1/2}) \psi_{i_1, i_2}) = \\
& = \frac{h_1 h_2}{2h_1} \left(- \sum_{i_1=2}^{N_1-1} \sum_{i_2=2}^{N_2-1} F_1 \varphi(q_{i_1+1/2, i_2+1/2}) \psi_{i_1, i_2} + \sum_{i'_1=1}^{N_1-2} \sum_{i_2=2}^{N_2-1} F_1 \varphi(q_{i'_1+1/2, i_2+1/2}) \psi_{i'_1+1, i_2} - \right. \\
& \left. - \sum_{i_1=2}^{N_1-1} \sum_{i'_2=1}^{N_2-2} F_1 \varphi(q_{i_1+1/2, i'_2+1/2}) \psi_{i_1, i'_2+1} + \sum_{i'_1=1}^{N_1-2} \sum_{i'_2=1}^{N_2-2} F_1 \varphi(q_{i'_1+1/2, i'_2+1/2}) \psi_{i'_1+1, i'_2+1} \right) = \\
& = h_1 h_2 \sum_{i_1=2}^{N_1-2} \sum_{i_2=2}^{N_2-2} (F_1 \varphi D_{q^1} \psi)(q_{i_1+1/2, i_2+1/2}) + \frac{h_1 h_2}{2h_1} \left(\sum_{i_2=2}^{N_2-2} F_1 \varphi(q_{1+1/2, i_2+1/2}) (\psi_{1+1, i_2+1} + \psi_{1+1, i_2}) + \right. \\
& + \sum_{i_1=2}^{N_1-2} F_1 \varphi(q_{i_1+1/2, 1+1/2}) (\psi_{i_1+1, 1+1} - \psi_{i_1, 1+1}) + \sum_{i_2=2}^{N_2-2} F_1 \varphi(q_{N_1-1/2, i_2+1/2}) (-\psi_{N_1-1, i_2+1} - \psi_{N_1-1, i_2}) + \\
& + \sum_{i_1=2}^{N_1-2} F_1 \varphi(q_{i_1+1/2, N_2-1/2}) (\psi_{i_1+1, N_2-1} - \psi_{i_1, N_2-1}) + F_1 \varphi(q_{1+1/2, 1+1/2}) \psi_{1+1, 1+1} - \\
& \left. - F_1 \varphi(q_{N_1-1/2, 1+1/2}) \psi_{N_1-1, 1+1} - F_1 \varphi(q_{N_1-1/2, N_2-1/2}) \psi_{N_1-1, N_2-1} + F_1 \varphi(q_{1+1/2, N_2-1/2}) \psi_{1+1, N_2-1} \right).
\end{aligned}$$

Осуществив аналогичные преобразования для выражения

$$-h_1 h_2 \sum_{i_1=2}^{N_1-1} \sum_{i_2=2}^{N_2-1} (\overline{D}_{q^2} F_2 \varphi \psi)_{i_1, i_2},$$

полностью определим вклад узлов типа 0 в скалярное произведение $(A\varphi, \psi)$.

Тип 0:

$$\begin{aligned}
 h_1 h_2 \sum_{i_1=2}^{N_1-1} \sum_{i_2=2}^{N_2-1} (A\varphi \psi)_{i_1, i_2} &= h_1 h_2 \sum_{i_1=2}^{N_1-2} \sum_{i_2=2}^{N_2-2} (F_1 \varphi D_{q^1} \psi + F_2 \varphi D_{q^2} \psi)(q_{i_1+1/2, i_2+1/2}) + \\
 + \frac{h_1 h_2}{2h_1} &\left(\sum_{i_2=2}^{N_2-2} F_1 \varphi(q_{1+1/2, i_2+1/2}) (\psi_{1+1, i_2+1} + \psi_{1+1, i_2}) + \sum_{i_1=2}^{N_1-2} F_1 \varphi(q_{i_1+1/2, 1+1/2}) (\psi_{i_1+1, 1+1} - \psi_{i_1, 1+1}) + \right. \\
 &+ \sum_{i_2=2}^{N_2-2} F_1 \varphi(q_{N_1-1/2, i_2+1/2}) (-\psi_{N_1-1, i_2+1} - \psi_{N_1-1, i_2}) + \\
 &+ \sum_{i_1=2}^{N_1-2} F_1 \varphi(q_{i_1+1/2, N_2-1/2}) (\psi_{i_1+1, N_2-1} - \psi_{i_1, N_2-1}) + \\
 &+ F_1 \varphi(q_{1+1/2, 1+1/2}) \psi_{1+1, 1+1} - F_1 \varphi(q_{N_1-1/2, 1+1/2}) \psi_{N_1-1, 1+1} - \\
 &\left. - F_1 \varphi(q_{N_1-1/2, N_2-1/2}) \psi_{N_1-1, N_2-1} + F_1 \varphi(q_{1+1/2, N_2-1/2}) \psi_{1+1, N_2-1} \right) + \\
 + \frac{h_1 h_2}{2h_2} &\left(\sum_{i_2=2}^{N_2-2} F_2 \varphi(q_{1+1/2, i_2+1/2}) (\psi_{1+1, i_2+1} - \psi_{1+1, i_2}) + \sum_{i_1=2}^{N_1-2} F_2 \varphi(q_{i_1+1/2, 1+1/2}) (\psi_{i_1+1, 1+1} + \psi_{i_1, 1+1}) + \right. \\
 &+ \sum_{i_2=2}^{N_2-2} F_2 \varphi(q_{N_1-1/2, i_2+1/2}) (\psi_{N_1-1, i_2+1} - \psi_{N_1-1, i_2}) + \\
 &+ \sum_{i_1=2}^{N_1-2} F_2 \varphi(q_{i_1+1/2, N_2-1/2}) (-\psi_{i_1+1, N_2-1} - \psi_{i_1, N_2-1}) + \\
 &+ F_2 \varphi(q_{1+1/2, 1+1/2}) \psi_{1+1, 1+1} + F_2 \varphi(q_{N_1-1/2, 1+1/2}) \psi_{N_1-1, 1+1} - F_2 \varphi(q_{N_1-1/2, N_2-1/2}) \psi_{N_1-1, N_2-1} - \\
 &\left. - F_2 \varphi(q_{1+1/2, N_2-1/2}) \psi_{1+1, N_2-1} \right) + h_1 h_2 \sum_{i_1=2}^{N_1-1} \sum_{i_2=2}^{N_2-1} (\tilde{\varphi} \psi)_{i_1, i_2}. \tag{3.15}
 \end{aligned}$$

Для других типов узлов будем иметь следующие равенства.

Тип 1:

$$\begin{aligned}
 \frac{h_1 h_2}{2} \sum_{i_2=2}^{N_2-1} (A\varphi \psi)_{1, i_2} &= \frac{h_1 h_2}{2h_1} \left(\sum_{i_2=2}^{N_2-2} F_1 \varphi(q_{1+1/2, i_2+1/2}) (-\psi_{1, i_2+1} - \psi_{1, i_2}) - F_1 \varphi(q_{1+1/2, 1+1/2}) \psi_{1, 1+1} - \right. \\
 &\left. - F_1 \varphi(q_{1+1/2, N_2-1/2}) \psi_{1, N_2-1} \right) + \frac{h_1 h_2}{2h_2} \left(\sum_{i_2=2}^{N_2-2} F_2 \varphi(q_{1+1/2, i_2+1/2}) (\psi_{1, i_2+1} - \psi_{1, i_2}) + \right. \\
 &\left. + F_2 \varphi(q_{1+1/2, 1+1/2}) \psi_{1, 1+1} - F_2 \varphi(q_{1+1/2, N_2-1/2}) \psi_{1, N_2-1} \right) + \frac{h_1 h_2}{2} \sum_{i_2=2}^{N_2-1} (\tilde{\varphi} \psi)_{1, i_2}. \tag{3.16}
 \end{aligned}$$

Тип 2:

$$\frac{h_1 h_2}{2} \sum_{i_1=2}^{N_1-1} (A\varphi \psi)_{i_1, 1} = \frac{h_1 h_2}{2h_1} \left(\sum_{i_1=2}^{N_1-2} F_1 \varphi(q_{i_1+1/2, 1+1/2}) (\psi_{i_1+1, 1} - \psi_{i_1, 1}) + F_1 \varphi(q_{1+1/2, 1+1/2}) \psi_{1+1, 1} - \right.$$

$$\begin{aligned}
& -F_1\varphi(q_{N_1-1/2,1+1/2})\psi_{N_1-1,1} \Big) + \frac{h_1h_2}{2h_2} \left(\sum_{i_1=2}^{N_1-2} F_2\varphi(q_{i_1+1/2,1+1/2}) (-\psi_{i_1+1,1} - \psi_{i_1,1}) - \right. \\
& \left. -F_2\varphi(q_{1+1/2,1+1/2})\psi_{1+1,1} - F_2\varphi(q_{N_1-1/2,1+1/2})\psi_{N_1-1,1} \right) + \frac{h_1h_2}{2} \sum_{i_1=2}^{N_1-1} (\tilde{\varphi} \psi)_{i_1,1}. \quad (3.17)
\end{aligned}$$

Тип 3:

$$\begin{aligned}
& \frac{h_1h_2}{2} \sum_{i_2=2}^{N_2-1} (A\varphi \psi)_{N_1,i_2} = \\
& = \frac{h_1h_2}{2h_1} \left(\sum_{i_2=2}^{N_2-2} F_1\varphi(q_{N_1-1/2,i_2+1/2}) (\psi_{N_1,i_2+1} + \psi_{N_1,i_2}) + F_1\varphi(q_{N_1-1/2,1+1/2})\psi_{N_1,1+1} + \right. \\
& \left. + F_1\varphi(q_{N_1-1/2,N_2-1/2})\psi_{N_1,N_2-1} \right) + \frac{h_1h_2}{2h_2} \left(\sum_{i_2=2}^{N_2-2} F_2\varphi(q_{N_1-1/2,i_2+1/2}) (\psi_{N_1,i_2+1} - \psi_{N_1,i_2}) + \right. \\
& \left. + F_2\varphi(q_{N_1-1/2,1+1/2})\psi_{N_1,1+1} - F_2\varphi(q_{N_1-1/2,N_2-1/2})\psi_{N_1,N_2-1} \right) + \frac{h_1h_2}{2} \sum_{i_2=2}^{N_2-1} (\tilde{\varphi} \psi)_{N_1,i_2}. \quad (3.18)
\end{aligned}$$

Тип 4:

$$\begin{aligned}
& \frac{h_1h_2}{2} \sum_{i_1=2}^{N_1-1} (A\varphi \psi)_{i_1,N_2} = \\
& = \frac{h_1h_2}{2h_1} \left(\sum_{i_1=2}^{N_1-2} F_1\varphi(q_{i_1+1/2,N_2-1/2}) (\psi_{i_1+1,N_2} - \psi_{i_1,N_2}) - F_1\varphi(q_{N_1-1/2,N_2-1/2})\psi_{N_1-1,N_2} + \right. \\
& \left. + F_1\varphi(q_{1+1/2,N_2-1/2})\psi_{1+1,N_2} \right) + \frac{h_1h_2}{2h_2} \left(\sum_{i_1=2}^{N_1-2} F_2\varphi(q_{i_1+1/2,N_2-1/2}) (\psi_{i_1+1,N_2} + \psi_{i_1,N_2}) + \right. \\
& \left. + F_2\varphi(q_{N_1-1/2,N_2-1/2})\psi_{N_1-1,N_2} + F_2\varphi(q_{1+1/2,N_2-1/2})\psi_{1+1,N_2} \right) + \frac{h_1h_2}{2} \sum_{i_1=2}^{N_1-1} (\tilde{\varphi} \psi)_{i_1,N_2}. \quad (3.19)
\end{aligned}$$

Тип 5:

$$\frac{h_1h_2}{4} (A\varphi \psi)_{1,1} = -\frac{h_1h_2}{2h_1} F_1\varphi(q_{1+1/2,1+1/2})\psi_{1,1} - \frac{h_1h_2}{2h_2} F_2\varphi(q_{1+1/2,1+1/2})\psi_{1,1} + \frac{h_1h_2}{4} (\tilde{\varphi} \psi)_{1,1}. \quad (3.20)$$

Тип 6:

$$\frac{h_1h_2}{4} (A\varphi \psi)_{N_1,1} = \frac{h_1h_2}{2h_1} F_1\varphi(q_{N_1-1/2,1+1/2})\psi_{N_1,1} - \frac{h_1h_2}{2h_2} F_2\varphi(q_{N_1-1/2,1+1/2})\psi_{N_1,1} + \frac{h_1h_2}{4} (\tilde{\varphi} \psi)_{N_1,1}. \quad (3.21)$$

Тип 7:

$$\begin{aligned}
& \frac{h_1h_2}{4} (A\varphi \psi)_{N_1,N_2} = \\
& = \frac{h_1h_2}{2h_1} F_1\varphi(q_{N_1-1/2,N_2-1/2})\psi_{N_1,N_2} + \frac{h_1h_2}{2h_2} F_2\varphi(q_{N_1-1/2,N_2-1/2})\psi_{N_1,N_2} + \frac{h_1h_2}{4} (\tilde{\varphi} \psi)_{N_1,N_2}. \quad (3.22)
\end{aligned}$$

Тип 8:

$$\begin{aligned} & \frac{h_1 h_2}{4} (A\varphi \psi)_{1, N_2} = \\ & = -\frac{h_1 h_2}{2h_1} F_1 \varphi(q_{1+1/2, N_2-1/2}) \psi_{1, N_2} + \frac{h_1 h_2}{2h_2} F_2 \varphi(q_{1+1/2, N_2-1/2}) \psi_{1, N_2} + \frac{h_1 h_2}{4} (\tilde{\varphi} \psi)_{1, N_2}. \end{aligned} \quad (3.23)$$

Складывая равенства (3.15)–(3.23) и приводя подобные слагаемые в правой части, получим требуемое равенство (3.14).

Лемма 3.2. Для любых функций φ, ψ из пространства M имеет место равенство

$$(F_1 \varphi D_{q^1} \psi + F_2 \varphi D_{q^2} \psi)(q_{i_1+1/2, i_2+1/2}) = (F_1 \psi D_{q^1} \varphi + F_2 \psi D_{q^2} \varphi)(q_{i_1+1/2, i_2+1/2}).$$

Доказательство. Из определения операторов F_α имеем

$$\begin{aligned} & (F_1 \varphi D_{q^1} \psi + F_2 \varphi D_{q^2} \psi)(q_{i_1+1/2, i_2+1/2}) = \\ & = ((k_{11} D_{q^1} \varphi + k_{12} D_{q^2} \varphi) D_{q^1} \psi + (k_{12} D_{q^1} \varphi + k_{22} D_{q^2} \varphi) D_{q^2} \psi)(q_{i_1+1/2, i_2+1/2}) = \\ & = ((k_{11} D_{q^1} \psi + k_{12} D_{q^2} \psi) D_{q^1} \varphi + (k_{12} D_{q^1} \psi + k_{22} D_{q^2} \psi) D_{q^2} \varphi)(q_{i_1+1/2, i_2+1/2}) = \\ & = (F_1 \psi D_{q^1} \varphi + F_2 \psi D_{q^2} \varphi)(q_{i_1+1/2, i_2+1/2}). \end{aligned}$$

Теорема 3.1. Оператор A является самосопряженным и положительно определенным в пространстве M , причем имеет место оценка

$$d_1 (\varphi, \varphi) \leq (A\varphi, \varphi) \leq (c_2 l + d_2) (\varphi, \varphi),$$

где

$$\begin{aligned} d_1 &= \min_{q \in \mathcal{Q}} \frac{3J}{H^3}, \quad d_2 = \max_{q \in \mathcal{Q}} \frac{3J}{H^3}, \quad l = \max \left(\frac{4}{h_1^2}, \frac{4}{h_2^2} \right), \\ c_2 &= \max_{q \in \mathcal{Q}} \frac{k_{11} + k_{22} + \sqrt{(k_{11} - k_{22})^2 + 4k_{12}^2}}{2}. \end{aligned}$$

Доказательство. Согласно леммам 3.1 и 3.2

$$\begin{aligned} (A\varphi, \psi) &= h_1 h_2 \sum_{i_1=1}^{N_1-1} \sum_{i_2=1}^{N_2-1} (F_1 \varphi D_{q^1} \psi + F_2 \varphi D_{q^2} \psi)(q_{i_1+1/2, i_2+1/2}) + (\tilde{\varphi}, \psi) = \\ &= h_1 h_2 \sum_{i_1=1}^{N_1-1} \sum_{i_2=1}^{N_2-1} (F_1 \psi D_{q^1} \varphi + F_2 \psi D_{q^2} \varphi)(q_{i_1+1/2, i_2+1/2}) + (\tilde{\psi}, \varphi) = (A\psi, \varphi), \end{aligned}$$

что доказывает самосопряженность оператора.

Рассмотрим в области Q дифференциальный оператор

$$L = \sum_{\alpha, \beta=1}^2 \frac{\partial}{\partial q^\alpha} \left(k_{\alpha\beta} \frac{\partial}{\partial q^\beta} \right).$$

Нетрудно показать, что для произвольных ζ_1, ζ_2 имеет место оценка

$$c_1 (\zeta_1^2 + \zeta_2^2) \leq \sum_{\alpha, \beta=1}^2 k_{\alpha\beta} \zeta_\alpha \zeta_\beta \leq c_2 (\zeta_1^2 + \zeta_2^2),$$

где $c_1 = \min_{q \in \bar{Q}} \frac{k_{11} + k_{22} - \sqrt{D}}{2}$, $c_2 = \max_{q \in \bar{Q}} \frac{k_{11} + k_{22} + \sqrt{D}}{2}$, $D = (k_{11} - k_{22})^2 + 4k_{12}^2$. Если в \bar{Q} выполняются неравенства $k_{11} > 0$, $k_{11}k_{22} > k_{12}^2$, то L является равномерно эллиптическим оператором и выполняется неравенство $c_1 > 0$.

Используя определения операторов F_α , имеем

$$\begin{aligned} (A\varphi, \varphi) &= h_1 h_2 \sum_{i_1=1}^{N_1-1} \sum_{i_2=1}^{N_2-1} (F_1 \varphi D_{q^1} \varphi + F_2 \varphi D_{q^2} \varphi)(q_{i_1+1/2, i_2+1/2}) + (\tilde{\varphi}, \varphi) = \\ &= h_1 h_2 \sum_{i_1=1}^{N_1-1} \sum_{i_2=1}^{N_2-1} \left((k_{11} D_{q^1} \varphi + k_{12} D_{q^2} \varphi) D_{q^1} \varphi + (k_{12} D_{q^1} \varphi + k_{22} D_{q^2} \varphi) D_{q^2} \varphi \right) (q_{i_1+1/2, i_2+1/2}) + (\tilde{\varphi}, \varphi), \end{aligned}$$

откуда следует, что

$$\begin{aligned} c_1 h_1 h_2 \sum_{i_1=1}^{N_1-1} \sum_{i_2=1}^{N_2-1} \left((D_{q^1} \varphi)^2 + (D_{q^2} \varphi)^2 \right) (q_{i_1+1/2, i_2+1/2}) + d_1(\varphi, \varphi) &\leq (A\varphi, \varphi) \leq \\ &\leq c_2 h_1 h_2 \sum_{i_1=1}^{N_1-1} \sum_{i_2=1}^{N_2-1} \left((D_{q^1} \varphi)^2 + (D_{q^2} \varphi)^2 \right) (q_{i_1+1/2, i_2+1/2}) + d_2(\varphi, \varphi). \end{aligned} \quad (3.24)$$

Рассмотрим в области Q следующую задачу Неймана:

$$-\Delta \varphi = 0, \quad \left. \frac{\partial \varphi}{\partial n} \right|_{\Gamma} = 0.$$

Аппроксимируем эту задачу на прямоугольной сетке с шагами h_1 и h_2 с помощью конечно-разностного оператора B , получаемого из оператора A путем замены коэффициентов на постоянные: $k_{11} = k_{22} = 1$, $k_{12} = 0$, $k_0 = 0$. Очевидно,

$$(B\varphi, \varphi) = h_1 h_2 \sum_{i_1=1}^{N_1-1} \sum_{i_2=1}^{N_2-1} \left((D_{q^1} \varphi)^2 + (D_{q^2} \varphi)^2 \right) (q_{i_1+1/2, i_2+1/2}).$$

Собственные значения оператора B имеют вид

$$\lambda_{n_1, n_2} = \frac{1}{h_1^2} (1 - \cos \pi h_1 n_1) (1 + \cos \pi h_2 n_2) + \frac{1}{h_2^2} (1 + \cos \pi h_1 n_1) (1 - \cos \pi h_2 n_2),$$

где $n_\alpha = 0, \dots, N_\alpha - 1$, при этом

$$\lambda_{\min} = 0, \quad \lambda_{\max} = l = \max \left(\frac{4}{h_1^2}, \frac{4}{h_2^2} \right),$$

то есть

$$0 \leq (B\varphi, \varphi) \leq l (\varphi, \varphi).$$

Таким образом, мы можем записать неравенство (3.24) в виде

$$c_1 (B\varphi, \varphi) + d_1(\varphi, \varphi) \leq (A\varphi, \varphi) \leq c_2 (B\varphi, \varphi) + d_2(\varphi, \varphi)$$

и, окончательно,

$$d_1(\varphi, \varphi) \leq (A\varphi, \varphi) \leq (c_2 l + d_2)(\varphi, \varphi),$$

что и требовалось доказать.

Разработанный алгоритм был применен для численного исследования процесса взаимодействия уединенной волны с плоской вертикальной стенкой, расположенной под некоторым углом к фронту волны, а также для моделирование течения, возникающего при разрушении дамбы, перегородаживающей водоем [3]. Полученные результаты сравнивались с результатами расчетов по модели мелкой воды первого приближения и по модели потенциальных течений [4, 13, 15]. На основании проведенного сравнения можно сделать вывод о том, что разработанный алгоритм решения нелинейно-дисперсионных уравнений в достаточной мере продемонстрировал свою работоспособность, надежность и экономичность.

Список литературы

- [1] АЛЕШКОВ Ю. З. *Теория взаимодействия волн с преградами*. ЛГУ, Л., 1990.
- [2] БАЗДЕНКОВ С. В., МОРОЗОВ Н. И., ПОГУЦЦЕ О. Р. Дисперсионные эффекты в двумерной гидродинамике. *Докл. АН СССР*, **293**, 1987, 819–822.
- [3] БАРАХНИН В. Б., ХАКИМЗЯНОВ Г. С. Численная реализация условий непротекания для одной нелинейно-дисперсионной модели мелкой воды. *Актуальные проблемы современной математики*, НИИ МИОО НГУ, Новосибирск, **3**, 1997, 3–13.
- [4] БАРАХНИН В. Б., ХАКИМЗЯНОВ Г. С., ЧУБАРОВ Л. Б., ШКУРОПАЦКИЙ Д. А. Некоторые проблемы численного моделирования волновых режимов в огражденных акваториях. В *“Вычислительные технологии”*, ИВТ СО РАН, Новосибирск, **1**, №2, 1996, 3–25.
- [5] ВОЛЬЦИНГЕР Н. Е., КЛЕВАННЫЙ К. А., ПЕЛИНОВСКИЙ Е. Н. *Длинноволновая динамика прибрежной зоны*. Гидрометеиздат, Л., 1989.
- [6] ДОРФМАН А. А., ЯГОВДИК Г. И. Уравнения приближенной нелинейно-дисперсионной теории длинных гравитационных волн, возбуждаемых перемещениями дна и распространяющихся в бассейне переменной глубины. *Числен. методы мех. сплошной среды*, **8**, №1, 1977, 36–48.
- [7] ЖЕЛЕЗНЯК М. И. Воздействие длинных волн на сплошные вертикальные преграды. В *“Накат цунами на берег”*, ИПФ АН СССР, Горький, 1985, 122–139.
- [8] ЖЕЛЕЗНЯК М. И., ПЕЛИНОВСКИЙ Е. Н. Физико-математические модели наката цунами на берег. *Там же*, 8–33.
- [9] МАРЧУК АН. Г., ЧУБАРОВ Л. Б., ШОКИН Ю. И. *Численное моделирование волн цунами*. Наука, Новосибирск, 1983.
- [10] ОВСЯННИКОВ Л. В., МАКАРЕНКО Н. И., НАЛИМОВ В. И. и др. *Нелинейные проблемы теории поверхностных и внутренних волн*. Наука, Новосибирск, 1985.

- [11] ПОГОРЕЛОВ А. В. *Дифференциальная геометрия*. Наука, М., 1974.
- [12] ФЕДОТОВА З. И. О свойствах разностных схем для длинноволновых приближений уравнений гидродинамики. В “*Вычислительные технологии*”, ИВТ СО РАН, Новосибирск, **2**, №7, 1993, 237–249.
- [13] ХАКИМЗЯНОВ Г. С. О численном моделировании на адаптивных сетках трехмерных течений жидкости с поверхностными волнами. В “*Тр. Всесоюзн. совещ. по числ. мет. волн. гидродин.*”, Ростов-на-Дону, 1990, ВЦ СО АН СССР, Красноярск, 1991, 103–108.
- [14] ШОКИН Ю. И., ЧУБАРОВ Л. Б., МАРЧУК АН. Г., СИМОНОВ К. В. *Вычислительный эксперимент в проблеме цунами*. Наука, Новосибирск, 1989.
- [15] BARAKHNIN V. B., KHAKIMZYANOV G. S. Adaptive-grid numerical solution of one-dimensional and two-dimensional problems for the shallow-water equations. In “*Advanced Mathematics: Comput. and Appl. Proc. of AMCA-95*”, Novosibirsk, 1995, 144–153.
- [16] BARAKHNIN V. B., KHAKIMZYANOV G. S. On the application of adaptive grids to the numerical solution of one-dimensional problems in the shallow-water theory. *Russ. J. Numer. Anal. Math. Modelling*, **10**, №5, 1995, 373–391.
- [17] EILBEK J. C., MCGUIRE G. R. Numerical study of the regularized long-wave equations, I. Numerical methods. *J. Comput. Phys.* **19**, №1, 1975, 43–57.
- [18] ERTEKIN R. C., WEBSTER W. C., WEHAUSEN J. V. Waves caused by a moving disturbance in a shallow channel of finite width. *J. Fluid Mech.*, **169**, 1986, 275–292.
- [19] FEDOTOVA Z. I., PASHKOVA V. YU. On the numerical modelling of the dynamics of weakly nonlinear waves with dispersion. *Russ. J. Numer. Anal. Math. Modelling*, **10**, №5, 1995, 407–424.
- [20] GREEN A. E., NAGHDI P. M. A derivation of propagation in water of variable depth. *J. Fluid Mech.*, **71**, 1976, 237–246.
- [21] КОМПАНИЕТС Л. А. Analysis of difference algorithms for nonlinear dispersive shallow water models. *Russ. J. Numer. Anal. Math. Modelling*, **11**, №3, 1996, 205–221.
- [22] PEREGRINE D. H. Long waves on a beach. *J. Fluid Mech.*, **27**, pt. 4, 1967, 815–827.
- [23] SEABRA-SANTOS F. T., RENOARD D. P., TEMPERVILLE A. M. Numerical and experimental study of the transformation of a solitary wave over a shelf or isolated obstacle. *J. Fluid Mech.*, **176**, 1987, 117–134.
- [24] SHOKIN YU. I., KHAKIMZYANOV G. S., CHUBAROV L. B. New potentialities of computational experiment in tsunami problem. In “*Proc. of the Int. Tsunami Symp., TSUNAMI’93*”, Wakayama, Japan, August 23–25, 1993, 277–284.